

DESIGN D'UN CONVERTISSEUR MODAL EN UTILISANT DES LIGAMENTS FINS RÉSONANTS

Lucas CHESNEL Jérémy HELEINE Sergei A. NAZAROV

SMAI 2021
La Grande-Motte

Mardi 22 juin 2021

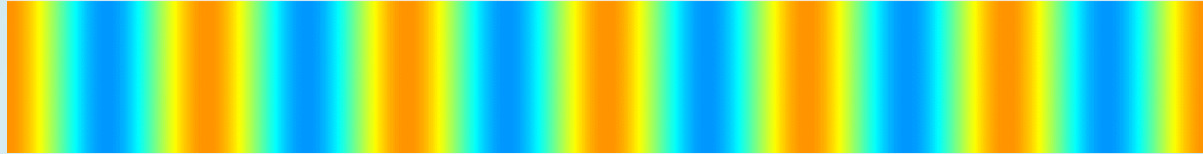


Inria

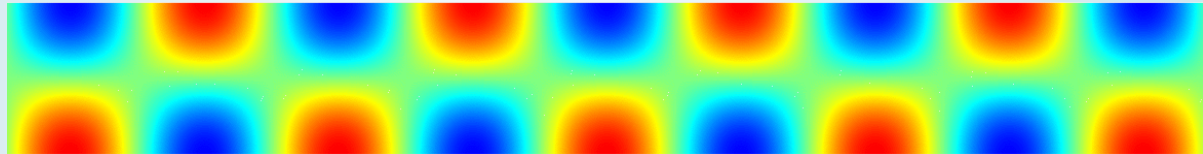
Contexte

Propagation dans un **guide d'onde acoustique**, non borné dans la direction (Ox).
La fréquence est fixée de telle sorte à avoir **deux modes propagatifs**.

Mode 1 :



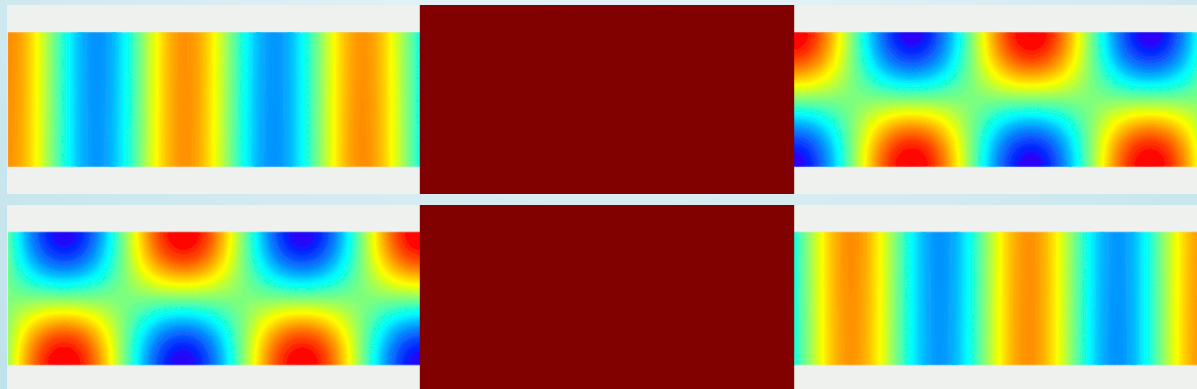
Mode 2 :



Objectif

Trouver une géométrie menant à :

1. une transmission complète de l'énergie,
2. la transmission du mode 1 vers le mode 2, et réciproquement.



- I. Définition du problème
- II. Géométrie choisie
- III. Longueurs de résonance
- IV. Résultats numériques
- V. Conclusion

Définition du problème

Coefficients de diffraction

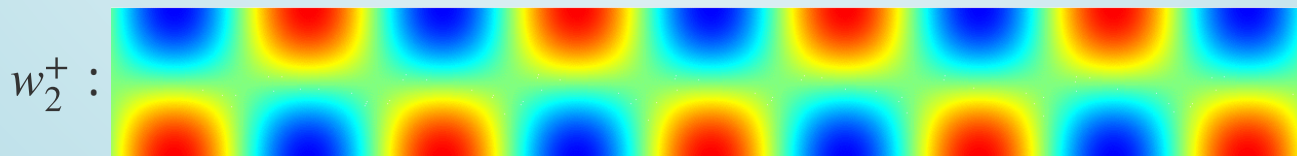
Équation de Helmholtz dans un domaine Ω non borné dans la direction (Ox) :

$$\begin{cases} \Delta u + k^2 u & = 0, & \text{dans } \Omega, \\ \partial_{\mathbf{n}} u & = 0, & \text{sur } \partial\Omega. \end{cases}$$

Deux modes propagatifs :

$$w_1^\pm(x, y) = \frac{1}{\sqrt{\beta_1}} e^{\pm i\beta_1 x}, \quad w_2^\pm(x, y) = \frac{1}{\sqrt{\beta_2}} e^{\pm i\beta_2 x} \sqrt{2} \cos(\pi y),$$

avec $\beta_1 = k$ et $\beta_2 = \sqrt{k^2 - \pi^2}$.



Définition du problème

Coefficients de diffraction

Diffraction des ondes w_1^+ et w_2^+ :

$$u_j = \begin{cases} w_j^+ + r_{j1}w_1^- + r_{j2}w_2^- + \dots, & \text{quand } x \rightarrow -\infty, \\ t_{j1}w_1^+ + t_{j2}w_2^+ + \dots, & \text{quand } x \rightarrow +\infty. \end{cases}$$

Matrices de réflexion et de transmission :

$$R = \begin{pmatrix} r_{11} & r_{12} \\ r_{21} & r_{22} \end{pmatrix} \quad \text{et} \quad T = \begin{pmatrix} t_{11} & t_{12} \\ t_{21} & t_{22} \end{pmatrix}.$$

Objectif

Trouver une géométrie menant aux matrices cibles :

$$R = \begin{pmatrix} 0 & 0 \\ 0 & 0 \end{pmatrix} \quad \text{et} \quad T = \begin{pmatrix} 0 & 1 \\ 1 & 0 \end{pmatrix}.$$

Difficulté

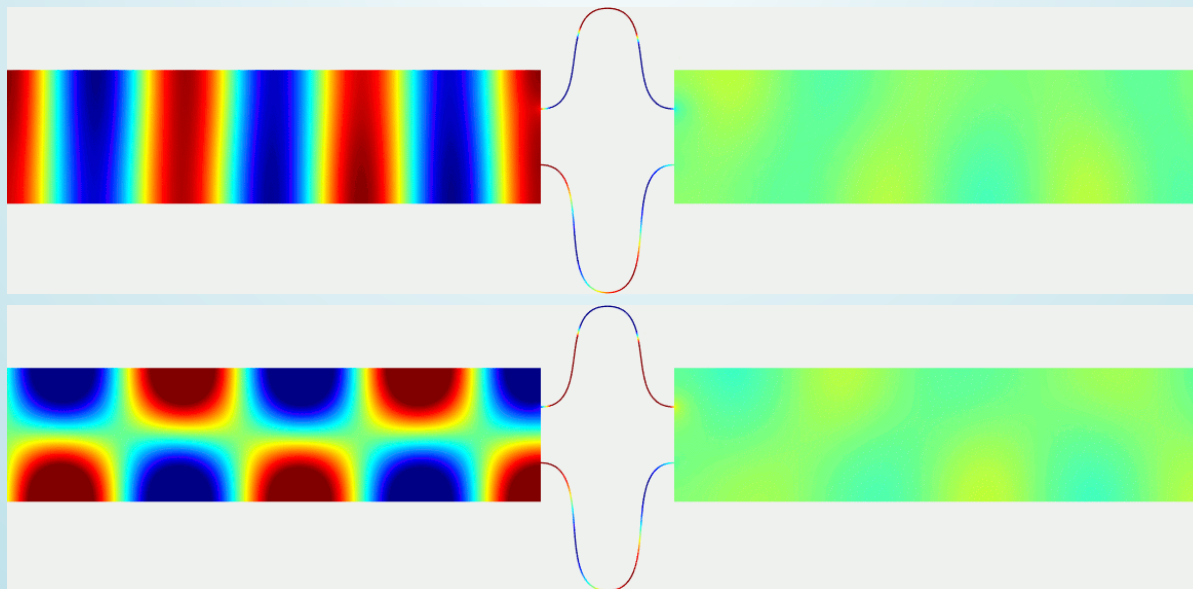
La dépendance des coefficients de diffraction par rapport à la géométrie est non linéaire et non explicite. Les techniques classiques d'optimisation sont inefficaces.

On choisit de travailler dans un guide **symétrique par rapport à l'axe (Oy)**, consistant en deux demi-guides connectés par des **ligaments fins de largeur $\varepsilon \ll 1$** .

Difficulté

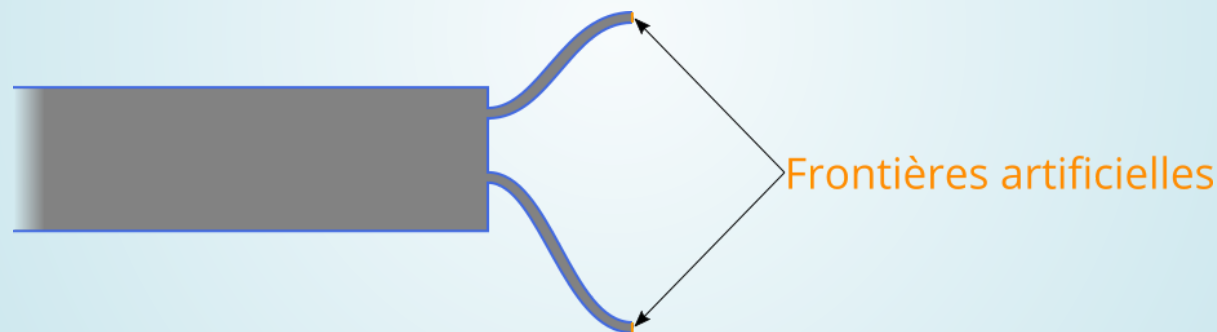
Ce choix peut paraître contre-intuitif, les ligaments fins impliquant une réflexion presque complète. En général, quand ε tend vers zéro, on a :

$$R^\varepsilon = \begin{pmatrix} 1 & 0 \\ 0 & 1 \end{pmatrix} + o(1) \quad \text{et} \quad T^\varepsilon = \begin{pmatrix} 0 & 0 \\ 0 & 0 \end{pmatrix} + o(1).$$



Ω^ε supposé symétrique par rapport à (Oy) . Cela nous permet de travailler sur le demi-guide :

$$\omega^\varepsilon = \{(x, y) \in \Omega^\varepsilon ; x < 0\}.$$



Conditions de bords artificielles de Neumann et de Dirichlet :

$$\left\{ \begin{array}{l} \Delta u_N^\varepsilon + k^2 u_N^\varepsilon = 0, \text{ dans } \omega^\varepsilon, \\ \partial_{\mathbf{n}} u_N^\varepsilon = 0, \text{ sur } \partial\omega^\varepsilon \cap \partial\Omega^\varepsilon, \\ \partial_{\mathbf{n}} u_N^\varepsilon = 0, \text{ sur } \partial\omega^\varepsilon \setminus \partial\Omega^\varepsilon, \end{array} \right. \quad \left\{ \begin{array}{l} \Delta u_D^\varepsilon + k^2 u_D^\varepsilon = 0, \text{ dans } \omega^\varepsilon, \\ \partial_{\mathbf{n}} u_D^\varepsilon = 0, \text{ sur } \partial\omega^\varepsilon \cap \partial\Omega^\varepsilon, \\ u_D^\varepsilon = 0, \text{ sur } \partial\omega^\varepsilon \setminus \partial\Omega^\varepsilon. \end{array} \right.$$

Condition de bord artificielle de Neumann

Condition de bord artificielle de Dirichlet

Diffraction des ondes w_1^+ et w_2^+

$$u_{Nj}^\varepsilon = w_j^+ + r_{j1}^{\varepsilon N} w_1^- + r_{j2}^{\varepsilon N} w_2^- + \dots$$

$$u_{Dj}^\varepsilon = w_j^+ + r_{j1}^{\varepsilon D} w_1^- + r_{j2}^{\varepsilon D} w_2^- + \dots$$

Matrices de réflexion

$$R_N^\varepsilon = \begin{pmatrix} r_{11}^{\varepsilon N} & r_{12}^{\varepsilon N} \\ r_{21}^{\varepsilon N} & r_{22}^{\varepsilon N} \end{pmatrix}$$

$$R_D^\varepsilon = \begin{pmatrix} r_{11}^{\varepsilon D} & r_{12}^{\varepsilon D} \\ r_{21}^{\varepsilon D} & r_{22}^{\varepsilon D} \end{pmatrix}$$

Lemme

On a les identités :

$$R^\varepsilon = \frac{R_N^\varepsilon + R_D^\varepsilon}{2} \quad \text{et} \quad T^\varepsilon = \frac{R_N^\varepsilon - R_D^\varepsilon}{2}.$$

Objectif

Matrices cibles :

$$R_N^\varepsilon = \begin{pmatrix} 0 & 1 \\ 1 & 0 \end{pmatrix} + o(1) \quad \text{et} \quad R_D^\varepsilon = \begin{pmatrix} 0 & -1 \\ -1 & 0 \end{pmatrix} + o(1).$$

Lemme

On a les identités :

$$R^\varepsilon = \frac{R_N^\varepsilon + R_D^\varepsilon}{2} \quad \text{et} \quad T^\varepsilon = \frac{R_N^\varepsilon - R_D^\varepsilon}{2}.$$

Objectif

Matrices cibles :

$$R_N^\varepsilon = \begin{pmatrix} 0 & 1 \\ 1 & 0 \end{pmatrix} + o(1) \quad \text{et} \quad R_D^\varepsilon = \begin{pmatrix} 0 & -1 \\ -1 & 0 \end{pmatrix} + o(1).$$

→ Analyse asymptotique par rapport à la largeur des ligaments

Longueurs de résonance

On considère la limite $\varepsilon \rightarrow 0^+$ dans les équations de Helmholtz restreintes aux ligaments fins :

$$\begin{cases} v'' + k^2 v = 0, & \text{dans }]0, \ell_{\pm}[, \\ v(0) = v'(\ell_{\pm}) = 0, \end{cases} \quad \begin{cases} v'' + k^2 v = 0, & \text{dans }]0, \ell_{\pm}[, \\ v(0) = v(\ell_{\pm}) = 0. \end{cases}$$



Neumann :

$$\omega \ell_{\pm} = \frac{\pi}{2} + m\pi, \quad m \in \mathbb{N},$$
$$v(x) = a_{\pm} \sin(kx).$$

Dirichlet :

$$\omega \ell_{\pm} = m\pi, \quad m \in \mathbb{N}^*,$$
$$v(x) = a_{\pm} \sin(kx).$$

Remarque Les longueurs de résonance ne sont pas les mêmes ! Cela permet de découpler l'influence des deux ligaments.

Longueurs de résonance

Asymptotique des coefficients

Ligaments de longueurs $\ell_{\pm}^{\varepsilon} = \ell_{\pm} + \varepsilon \ell'_{\pm}$ placés aux coordonnées verticales y_{\pm} .



Choix ℓ_{-} est résonante pour la condition de bord artificielle de Neumann, ℓ_{+} est résonante pour la condition de bord artificielle de Dirichlet.

Proposition Le paramètre de longueur ℓ'_{-} peut être choisi tel que, quand $\varepsilon \rightarrow 0$:

$$R_N^{\varepsilon} = \begin{pmatrix} \frac{2\beta_1 \cos(\pi y_-)^2 / \beta_2 - 1}{2\beta_1 \cos(\pi y_-)^2 / \beta_2 + 1} & -\frac{2 \cos(\pi y_-) \sqrt{2\beta_1 / \beta_2}}{2\beta_1 \cos(\pi y_-)^2 / \beta_2 + 1} \\ -\frac{2 \cos(\pi y_-) \sqrt{2\beta_1 / \beta_2}}{2\beta_1 \cos(\pi y_-)^2 / \beta_2 + 1} & \frac{1 - 2\beta_1 \cos(\pi y_-)^2 / \beta_2}{1 + 2\beta_1 \cos(\pi y_-)^2 / \beta_2} \end{pmatrix} + o(1)$$

avec $\beta_1 = k$ et $\beta_2 = \sqrt{k^2 - \pi^2}$.

Longueurs de résonance

Asymptotique des coefficients

Ligaments de longueurs $\ell_{\pm}^{\varepsilon} = \ell_{\pm} + \varepsilon \ell'_{\pm}$ placés aux coordonnées verticales y_{\pm} .



Choix ℓ_- est résonante pour la condition de bord artificielle de Neumann, ℓ_+ est résonante pour la condition de bord artificielle de Dirichlet.

Proposition Le paramètre de longueur ℓ'_+ peut être choisi tel que, quand $\varepsilon \rightarrow 0$:

$$R_D^{\varepsilon} = \begin{pmatrix} \frac{2\beta_1 \cos(\pi y_+)^2 / \beta_2 - 1}{2\beta_1 \cos(\pi y_+)^2 / \beta_2 + 1} & -\frac{2 \cos(\pi y_+) \sqrt{2\beta_1 / \beta_2}}{2\beta_1 \cos(\pi y_+)^2 / \beta_2 + 1} \\ -\frac{2 \cos(\pi y_+) \sqrt{2\beta_1 / \beta_2}}{2\beta_1 \cos(\pi y_+)^2 / \beta_2 + 1} & \frac{1 - 2\beta_1 \cos(\pi y_+)^2 / \beta_2}{1 + 2\beta_1 \cos(\pi y_+)^2 / \beta_2} \end{pmatrix} + o(1)$$

avec $\beta_1 = k$ et $\beta_2 = \sqrt{k^2 - \pi^2}$.

Résultats numériques

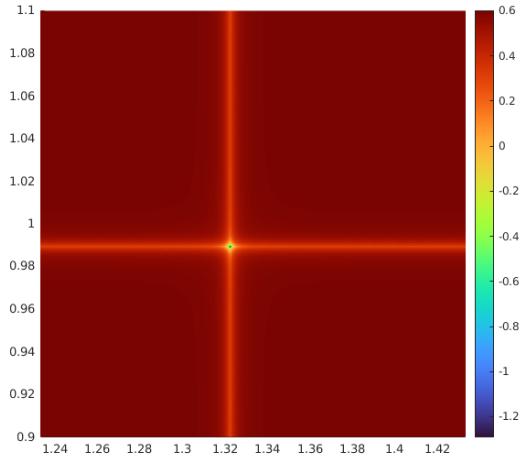
- Les positions y_{\pm} des ligaments sont obtenues analytiquement.
- Les longueurs ℓ_{\pm}^{ε} sont calculées numériquement.

Soit

$$J(\ell_{-}^{\varepsilon}, \ell_{+}^{\varepsilon}) = \ln(|R_N^{\varepsilon}(\ell_{-}^{\varepsilon}, \ell_{+}^{\varepsilon}) - R_N^{*}| + |R_D^{\varepsilon}(\ell_{-}^{\varepsilon}, \ell_{+}^{\varepsilon}) - R_D^{*}|),$$

avec :

$$R_N^{*} = \begin{pmatrix} 0 & 1 \\ 1 & 0 \end{pmatrix} \quad \text{et} \quad R_D^{*} = \begin{pmatrix} 0 & -1 \\ -1 & 0 \end{pmatrix}.$$



Résultats numériques

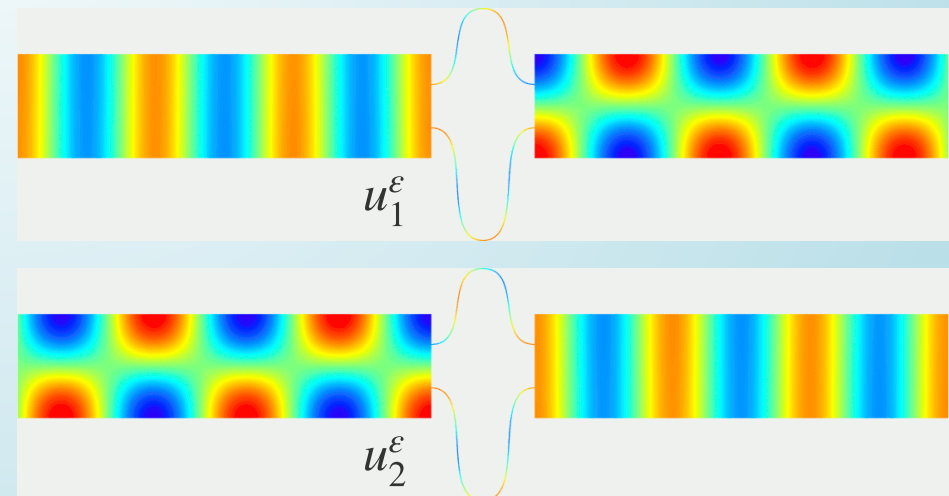
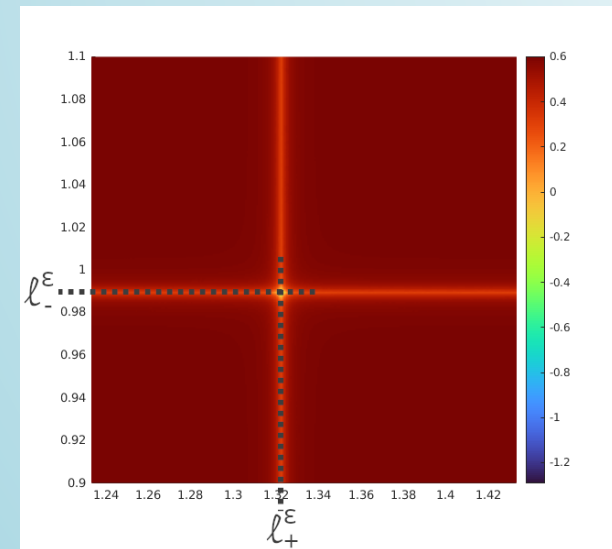
- Les positions y_{\pm} des ligaments sont obtenues analytiquement.
- Les longueurs ℓ_{\pm}^{ε} sont calculées numériquement.

Soit

$$J(\ell_{-}^{\varepsilon}, \ell_{+}^{\varepsilon}) = \ln(|R_N^{\varepsilon}(\ell_{-}^{\varepsilon}, \ell_{+}^{\varepsilon}) - R_N^{*}| + |R_D^{\varepsilon}(\ell_{-}^{\varepsilon}, \ell_{+}^{\varepsilon}) - R_D^{*}|),$$

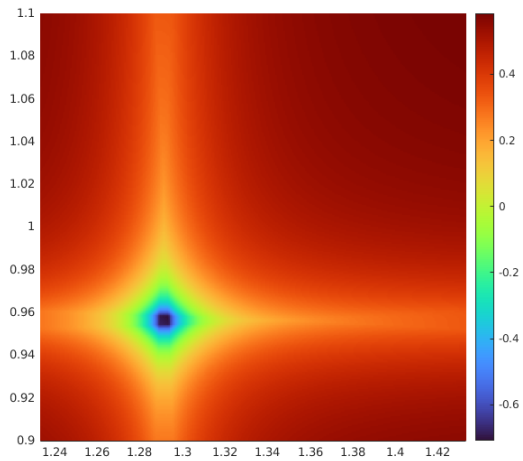
avec :

$$R_N^{*} = \begin{pmatrix} 0 & 1 \\ 1 & 0 \end{pmatrix} \quad \text{et} \quad R_D^{*} = \begin{pmatrix} 0 & -1 \\ -1 & 0 \end{pmatrix}.$$



Résultats numériques

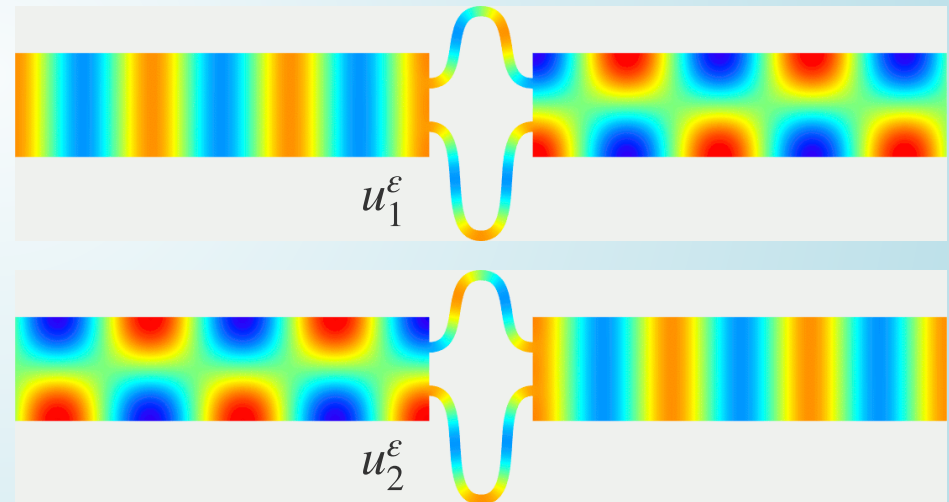
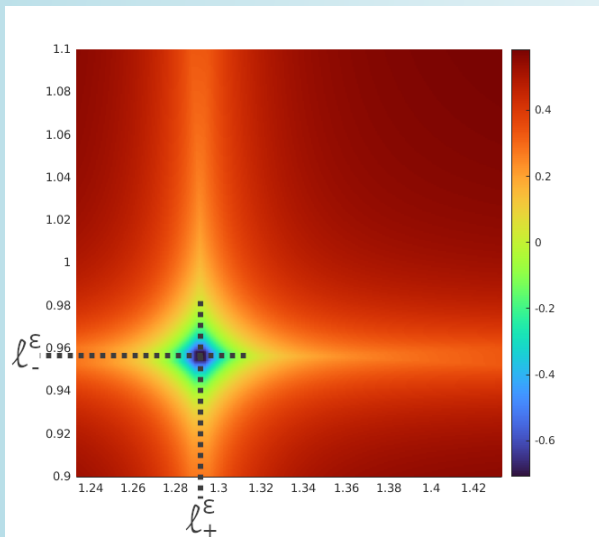
- Précédemment : $\varepsilon = 0.01$
- Ici : $\varepsilon = 0.1$



Des ligaments plus épais mènent à une conversion modale **moins précise** mais qui est **plus robuste**.

Résultats numériques

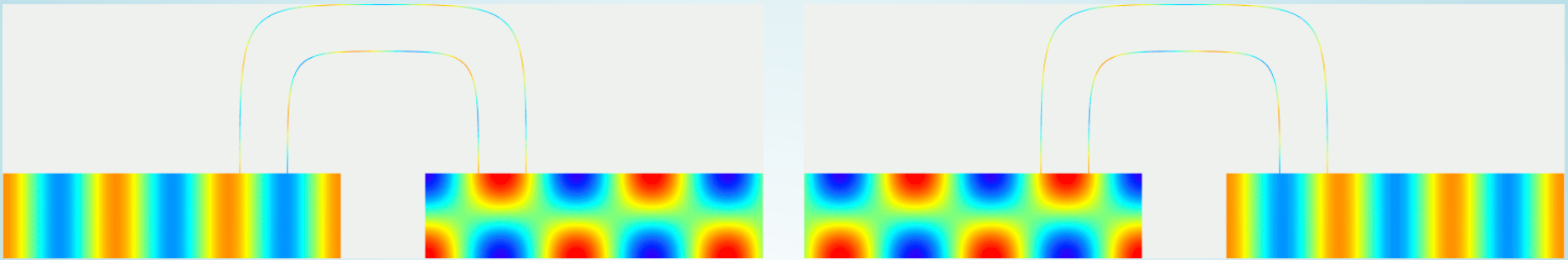
- Précédemment : $\varepsilon = 0.01$
- Ici : $\varepsilon = 0.1$



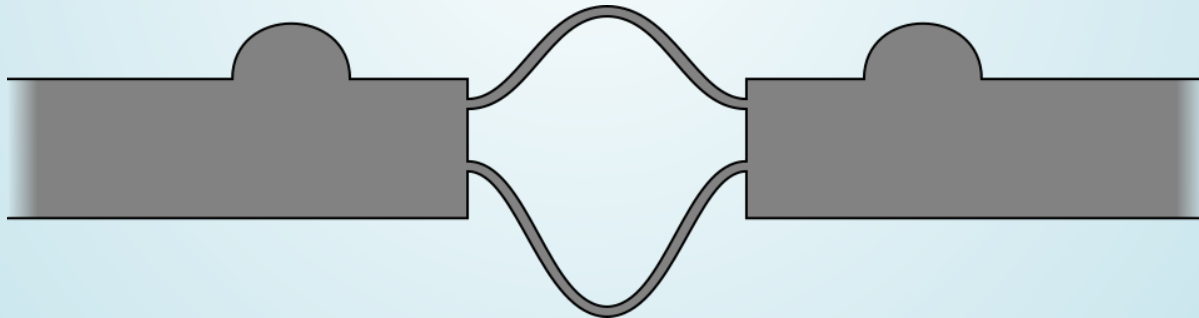
Des ligaments plus épais mènent à une conversion modale **moins précise** mais qui est **plus robuste**.

Conclusion

- Description de la construction de guides pour obtenir la conversion modale à une fréquence donnée.
- Les ligaments peuvent être placés sur le dessus des demi-guides.



- En général l'approche ne fonctionne pas sur des géométries telles que ci-dessous.



- L'approche devrait être similaire en 3D, même si des adaptations sont nécessaires dans l'analyse asymptotique.
- On étudie le problème de Dirichlet pour lequel cette approche ne fonctionne pas.
- Qu'est-ce qui peut être fait à des fréquences plus élevées... ?

Merci de votre attention